

بررسی رفتار زمین‌شناسی مهندسی خاک‌های سطحی آلوده به هیدروکربن‌های نفتی

در محدوده پالایشگاه تبریز

سید داود محمدی^{۱*}، خلیل محرم‌زاده سرای^۲

دریافت مقاله: ۹۲/۱۱/۰۵ پذیرش مقاله: ۹۳/۰۴/۰۸

چکیده

نفوذ مواد نفتی در خاک علاوه بر اثرات زیست‌محیطی می‌تواند باعث تغییر خصوصیات زمین‌شناسی مهندسی خاک‌ها شود. در این پژوهش رفتار زمین‌شناسی مهندسی خاک‌های سطحی آلوده محدوده پالایشگاه نفت تبریز بررسی شده است. مواد نفتی آلوده کننده نمونه‌های خاک مورد مطالعه از نوع هیدروکربن‌های آلکانی جامد با بیش از ۱۴ زنجیره اتم کربن (C₁₄) می‌باشند. بر اساس نتایج حاصل از آزمایش‌های آنها در رده خاک‌های SM و CL قرار می‌گیرند. نتایج آزمایش حدود آتبرگ در نمونه‌های CL نشان می‌دهد که شاخص خمیری (PI) در نمونه خاک دارای آلودگی بیشتر، کمترین مقدار بوده و با کاهش غلظت آلودگی، افزایش می‌یابد و تمامی نمونه‌های آلوده SM رفتار غیرخمیری داشته‌اند. در آزمایش‌های تراکم استاندارد، نمونه‌های با آلودگی بیشتر با درصد رطوبت بهینه کمتری به وزن واحد حجم خشک حداقل رسیده‌اند. همچنین نتایج آزمایش‌های نسبت باربری کالیفرنیا بیانگر کاهش مقدار CBR با افزایش میزان آلودگی بوده که این کاهش در نمونه‌های CL به مرتب بیشتر از نمونه‌های SM می‌باشد. بر اساس داده‌های حاصل از آزمایش‌های برش مستقیم و تحکیم، با افزایش میزان آلودگی خاک، به ترتیب پارامترهای مقاومت برشی (چسبندگی و زاویه اصطکاک داخلی) کاهش و نشت تحکیمی افزایش یافته است.

کلید واژه‌ها: کروماتوگرافی گازی، تراکم استاندارد، نسبت باربری کالیفرنیا (CBR)، مقاومت برشی، نشت تحکیمی

۱. استادیار گروه زمین‌شناسی، دانشگاه بوعلی سینا، همدان s_d_mohammadi@yahoo.com

۲. کارشناس ارشد زمین‌شناسی مهندسی، دانشگاه بوعلی سینا، همدان

* مسئول مکاتبات

رسوبات رسی افزایش در صد نفت خام باعث کاهش چشمگیر چسبندگی می‌شود. Lekmine (1991) نشان داد که برای رسهای فعال مانند مونتموریلوبنیت و بتونیت، تراکم‌پذیری با افزایش زمان نفوذ هیدروکربن‌های نفتی افزایش می‌یابد. Acar et al. (1985) بیان نمودند که با کاهش ثابت دی‌الکتریک، نیروهای دافعه کاهش خواهد یافت و بنابراین ضخامت لایه مضاعف کاهش یافته و حد روانی کاهش می‌یابد. Meegoda and Ratnaweera (1994) مطالعاتی بر روی شاخص فشردگی خاک‌های ریزدانه آلوهه شده به مواد نفتی انجام دادند. نتایج آزمایش‌های این محققین نشان می‌دهد که فاکتورهایی مثل ویسکوزیته مواد نفتی باعث روغن‌کاری و سهولت لغزش ذرات خاک شده و افزایش شاخص فشردگی را در پی دارد. در تمامی این مطالعات، ماده نفتی (معمولًاً گازوئیل و نفت خام) به صورت جداگانه به خاک اضافه شده و تغییرات پارامترهای مهندسی مورد بررسی قرار گرفته است. در این تحقیق روند مطالعه متفاوت بوده و خاک‌های سطحی محدوده پالایشگاه تبریز که به صورت تصادفی با مواد نفتی آلوهه شده‌اند، مورد مطالعه قرار گرفته است. هدف این نوشتار، تعیین نوع و مقدار آلوهگی‌های هیدروکربنی موجود در خاک‌های سطحی محدوده پالایشگاه تبریز و بررسی تأثیر این آلوهگی‌ها بر رفتار زمین‌شناسی مهندسی خاک‌های مزبور می‌باشد.

۲. موقعیت جغرافیایی محدوده مورد مطالعه

پالایشگاه نفت تبریز در بخش جنوب غربی تبریز (جاده تبریز- سردرود) قرار گرفته است. برای دسترسی به محدوده پالایشگاه، مسیرهای متعددی وجود دارد که مسیر مستقیم از مرکز شهر از خیابان ۲۲ بهمن به سمت بلوار ملت می‌باشد که در شکل (۱) نشان داده شده است.

۳. مواد و روش‌ها

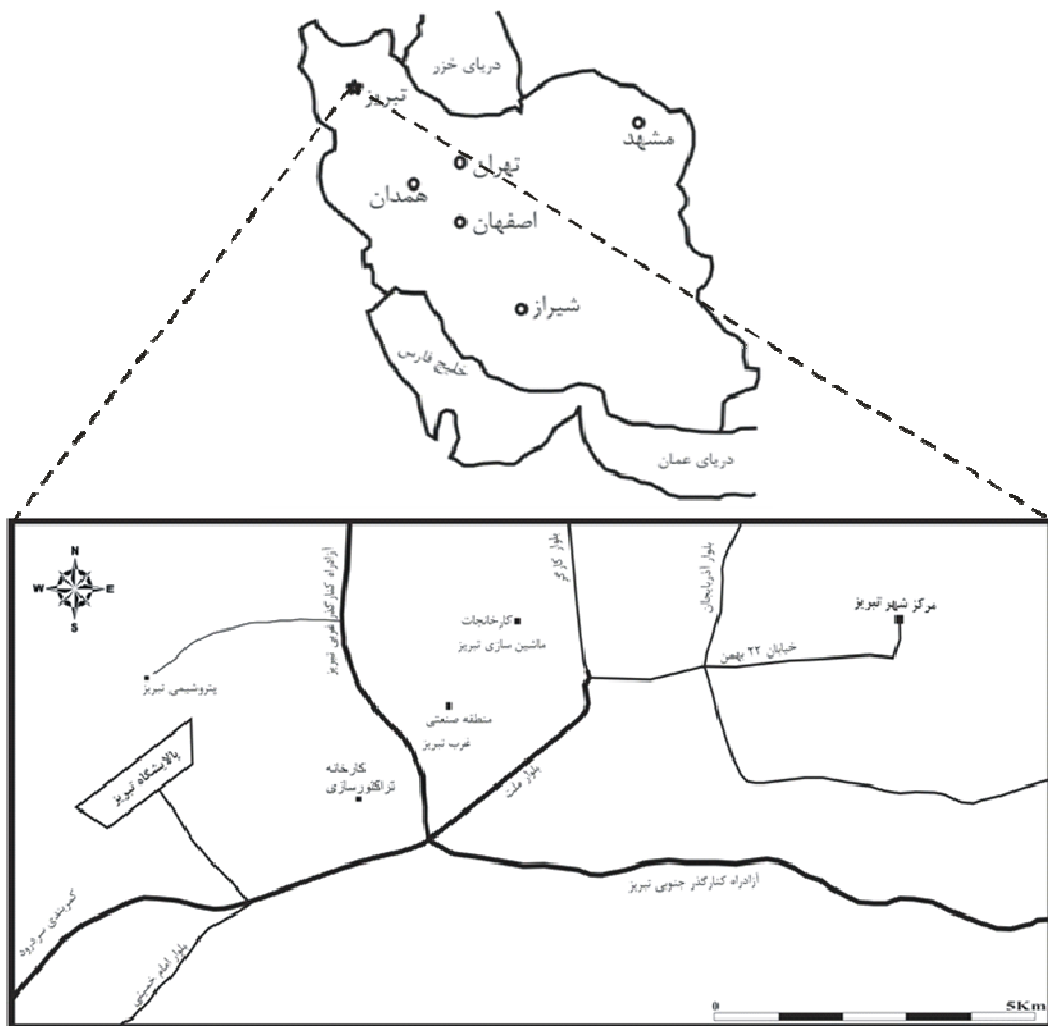
۱-۱. روش نمونه‌برداری و آنالیز دانه‌بنایی
نمونه‌های آلوهه محدوده پالایشگاه تبریز از حاشیه مخازن مواد نفتی به نحوی نمونه‌برداری شده‌اند که تقریباً نقاط

۱. مقدمه

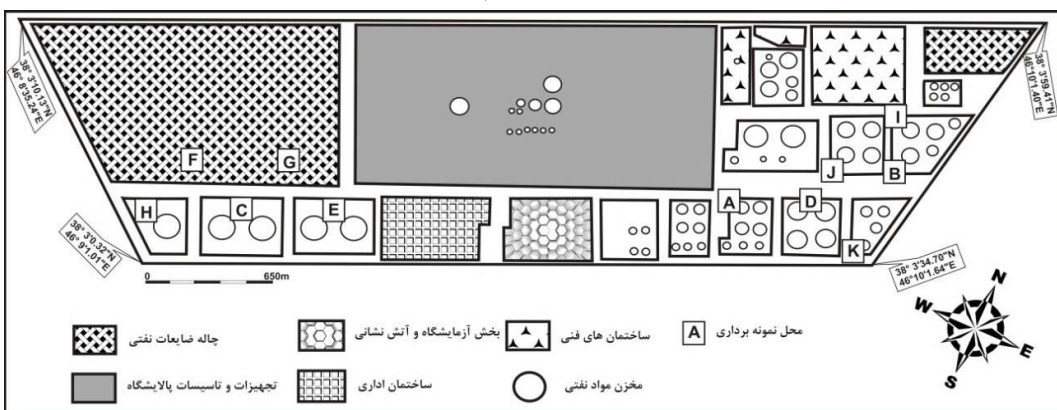
آلوهگی خاک با مواد نفتی در محدوده پالایشگاه‌ها اکثرً تصادفی بوده و بر اثر نشت از مخازن و خطوط لوله آسیب‌دیده، نشت در حین حمل و نقل، تصادف تانکرها یا حتی در جنگ به صورت صدمه به مخازن اتفاق می‌افتد (Khamehchiyan et al., 2007). نفوذ مواد نفتی در خاک علاوه بر اثرات زیست‌محیطی می‌تواند باعث تغییر رفتار مهندسی خاک‌ها شود. Alsanad and Ismael (1995) ماسه‌های جورشده را به طور مصنوعی با نفت خام مخلوط کرده و مورد آزمایش پرتوکتور اصلاح شده قرار دادند. ایشان نشان دادند که با افزودن نفت خام به نمونه‌های ماسه‌ای، Alsanad and Eid (1997) دانسیته خشک افزایش می‌یابد. آزمایش‌های برش مستقیم و سه‌محوری را بر روی ماسه‌های مخلوط شده با نفت خام در محیط باز کویت انجام دادند و نشان دادند که زاویه اصطکاک داخلی هنگامی که نفت خام به Aiban (1996) ماسه ریزدانه اضافه می‌شود، کاهش می‌یابد. این نشان داد که اضافه شدن نفت خام به ماسه ریز یکنواخت، چسبندگی را کاهش و تراکم‌پذیری را افزایش می‌دهد. این موضوع به دلیل روغن‌کاری سطح ذرات خاک توسط نفت خام می‌باشد. Shin et al. (1999) مطالعاتی در زمینه بررسی مقاومت برشی ماسه آلوهه به نفت و ظرفیت نهایی شالولد واقع بر روی آن انجام دادند که بر پایه نتایج آن‌ها، آلوهگی موجب کاهش چشمگیر ظرفیت باربری می‌گردد. Vijay and Puri (2000) آزمایش‌هایی را به منظور بررسی تأثیر نفت خام بر پارامترهای تراکم‌پذیری و مقاومت برشی ماسه انجام دادند که این بررسی‌ها نشان‌دهنده کاهش زاویه اصطکاک داخلی و افزایش تراکم‌پذیری بوده است. تأثیر آلوهگی نفت خام بر پارامترهای مقاومت، نشت و تراکم‌پذیری ماسه توسط صدیقیان (۱۳۸۳) مورد مطالعه قرار گرفته است. نتایج آزمایش‌ها نشان داد که در اثر آلوهه شدن ماسه به نفت خام زاویه اصطکاک داخلی کاهش و نشت آنی افزایش می‌یابد. همچنین بر روی خاک‌های ریزدانه آلوهه نیز تحقیقاتی انجام شده است. Khamehchiyan et al. (2007) نشان دادند که در

سیلت‌دار (SM) (نمونه‌های F، G، E، C و H) و رس لاغر (CL) (نمونه‌های B، A، J، I و K) است که رنگ ظاهری، وضعیت جذب آب و درصد ذرات تشکیل دهنده هر یک از نمونه‌ها در جدول (۱) آمده است.

نمونه‌برداری بر روی گوشه‌های یک شبکه مربعی شکل با فواصل یکسان قرار دارد (شکل ۲). دانه‌بندی خاک با استاندارد ASTM D 422-63 انجام شده است. مطابق طبقه‌بندی یونیفاید، خاک‌های منطقه از دونوع خاک شامل ماسه



شکل ۱. راه‌های دسترسی به پالایشگاه تبریز، ترسیم شده از نقشه ماهواره‌ای Google Earth



شکل ۲. شکل شماتیک محدوده پالایشگاه تبریز ترسیم شده از نقشه ماهواره‌ای Google Earth

جدول ۱. درصد ذرات تشکیل دهنده هر یک از نمونه‌ها (شن=G، ماسه=S، سیلت=M و رس=C)

K	J	I	H	G	F	E	D	C	B	A	نقطه نمونه برداری
۳/۴۷	۲/۶۸	۳/۱۸	۳/۴۹	۳/۱۲	۲/۲۶	۲/۳۵	۳/۵۶	۲/۷۶	۲/۱۴	۴/۰۲	G%
۳۵/۸۵	۳۱/۳۹	۲۹/۸۱	۵۸/۳۸	۵۲/۷۶	۵۲/۷۳	۵۷/۴۵	۳۳/۴۴	۵۷/۱۲	۲۸/۹۴	۳۰/۹۶	S%
۵۱/۴۳	۵۹	۶۰/۷۸	۳۰/۴۹	۳۹/۹۹	۴۰/۲۷	۳۴/۳۶	۵۵/۱۶	۳۳/۸	۶۳/۱۶	۵۷/۶	M%
۹/۲۵	۷/۹۳	۷/۲۳	۷/۶۴	۵/۱۳	۴/۷۴	۵/۸۴	۷/۸۵	۶/۳۲	۵/۷۶	۷/۴۲	C%
CL	CL	CL	SM	SM	SM	SM	CL	SM	CL	CL	ردہ
کم	کم	کم	خاکستری تیره قهوه‌ای	خاکستری قهوه‌ای	زرد خودی	فهوده‌ای تیره	زرد قهوه‌ای	فهوده‌ای کرم‌رنگ	فهوده‌ای تیره	فهوده‌ای	رنگ ظاهری
آب	آب	آب	آبگریز	آبگریز	آبگریز	آبگریز	آبگریز	آبگریز	آبگریز	آبگریز	جذب آب

هیدروکربن‌های آلکانی با بیش از ۱۴ اتم کربن می‌باشند که جزء هیدروکربن‌های جامد هستند. این هیدروکربن‌ها با فرمول شیمیایی C_nH_{2n+2} شناخته می‌شوند (Prahl et al., 2002). این هیدروکربن‌ها اطراف ذرات خاک را احاطه کرده و به صورت یک عایق در مقابل نفوذ آب عمل می‌کنند. در این حالت نمونه‌ها به سختی با آب مخلوط شده و قطره‌های آب به صورت معلق بر روی خاک‌های آلوده قرار می‌گیرند (شکل ۴).

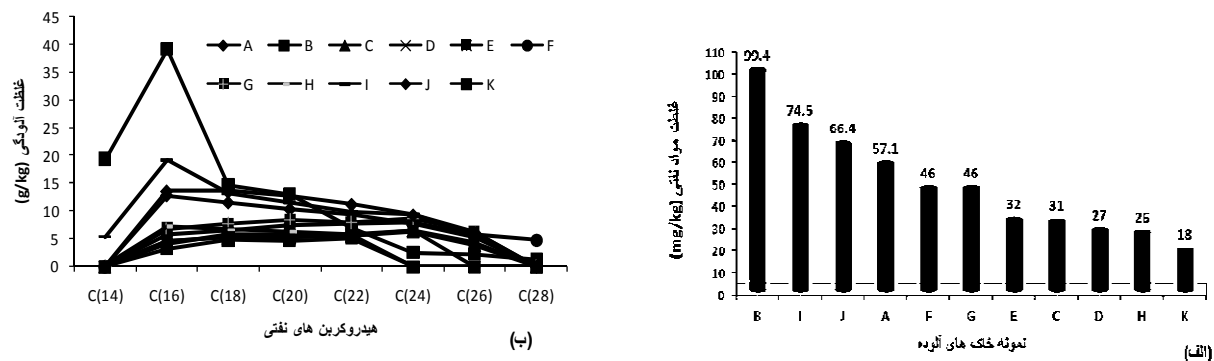
۲-۳. روش آنالیز آلودگی در نمونه‌ها
بعد از نمونه برداری از نمونه‌ها، جهت تعیین درصد و نوع مواد نفتی آلوده‌کننده، نمونه‌ها مورد آزمایش کروماتوگرافی گاز- جامد قرار گرفته‌اند که نتایج آن در جدول (۲) آورده شده است. همچنین، نمودار تغییرات درصد آلودگی و نوع هیدروکربن‌های آلوده‌کننده برای هر یک از نمونه‌ها در شکل (۳) آورده شده است. نتایج حاصل از آزمایش کروماتوگرافی نشان می‌دهد که بیشترین درصد آلودگی مربوط به

جدول ۲. نتایج حاصل از آزمایش کروماتوگرافی گاز- جامد

K	J	I	H	G	F	E	D	C	B	A	نقطه نمونه برداری	
											نوع ماده نفتی	Carbon
۰	۰	۵/۴	۰/۱۲	۰	۰	۰	۰	۰	۱۹/۴	۰	$C_{(14)}$	N-Tetradecane
۳/۲	۱۳/۶	۱۹/۲	۷/۲	۷/۸	۵/۶	۴/۱	۴/۵	۴/۶	۳۹/۲	۱۲/۸	$C_{(16)}$	N-Hexadecane
۴/۸	۱۳/۵	۱۳/۲	۷/۶	۷/۶	۶/۴	۵/۸	۵/۱	۵/۳	۱۴/۷	۱۱/۵	$C_{(18)}$	N-Octadecane
۴/۷	۱۲/۷	۱۱/۵	۷/۲	۸/۴	۷/۴	۵/۷	۵/۱	۵/۳	۱۳	۱۰/۳	$C_{(20)}$	N-Eicosane
۵/۱	۱۱/۲	۹/۸	۵/۷	۷/۸	۷/۶	۵/۸	۵/۵	۵/۵	۷/۹۹	۹/۴	$C_{(22)}$	N-Docosane
۰	۹/۳	۹/۴	۰	۸/۶	۷/۸	۷/۴	۷/۴	۷/۳	۲/۵۱	۷/۸	$C_{(24)}$	N-Tetracosane
۰	۶/۱	۵/۸	۰	۶/۱	۵/۷	۴/۲	۰	۳/۸	۲/۲۷	۵/۳	$C_{(26)}$	N-hexacosane
۰	۰	۰	۰	۴/۷	۰	۰	۰	۱/۳۱	۰	$C_{(28)}$	N-Octacosane	
۱۷/۹	۶۶/۴	۷۴/۵	۲۵/۹	۴۵/۴	۴۵/۴	۳۲	۲۶/۹	۳۰/۹	۹۹/۳۸	۵۷/۱	-	غلظت کل (mg/kg)

منظور بررسی رفتار زمین‌شناسی مهندسی خاک‌های مورد مطالعه انجام شده که تعداد تکرار آنها روی هر نمونه و مشخصات آنها در جدول (۳) آورده شده است.

۳-۳. برنامه آزمایش‌های زمین‌شناسی مهندسی علاوه بر آزمایش‌های کروماتوگرافی و دانه‌بندی که نتایج آنها ذکر گردید، آزمایش‌های آزمایشگاهی دیگری به



شکل ۳. نمودارهای الف: غلظت مواد نفتی در نمونه‌ها و ب: نوع هیدروکربن‌های آلوده کننده



شکل ۴. عدم اختلاط آسان آب با نمونه‌های SM آلوده به مواد نفتی

جدول ۳. برنامه آزمایش‌های زمین‌شناسی مهندسی

نوع آزمایش	استاندارد انجام آزمایش	تعداد نمونه خاک آلوده	تعداد تکرار	استاندارد انجام آزمایش
حدود آتریبرگ	ASTMD4318-87 (2000)	۱۱	۳	
تراکم استاندارد	ASTM D698-78 (2000)	۱۱	۳	
نسبت باربری کالیفرنیا (CBR)	ASTM D1883-87 (2000)	۱۱	۳	
برش مستقیم	ASTM D3080-72 (2000)	۱۱	۳	
تحکیم	ASTM D2435-80 (2000)	۱۱	۱	
مجموع آزمایش‌ها		۱۴۳		

رطوبت، خواص آن‌ها نیز تغییر خواهد کرد (طاحونی، ۱۳۸۱).

این آزمایش بر روی نمونه‌های رسی انجام شده و نتایج آن در جدول (۴) آورده شده است. نتایج آزمایش حدود آتریبرگ در نمونه‌های CL نشان می‌دهد که شاخص خمیری (PI) در نمونه خاک دارای آلدگی بیشتر (نمونه شماره ۱ از نقطه

۴. نتایج و بحث

۴-۱. نتایج آزمایش حدود آتریبرگ
رفتار خاک عملاً به میزان آب داخل مجموعه بستگی دارد. طبق نظر آتریبرگ حالات فیزیکی خاک ریزدانه، بر اساس درصد رطوبت‌های مختلف گوناگون خواهد بود و با تغییر

می دهد و بنابراین شاخص خمیری خاک کاهش می یابد. در واقع کاهش ضخامت لایه آب دوگانه و ثابت دی الکتریک سیال منفذی باعث تغییر رفتار خاک رسی به ماسه ای می گردد (Acar et al., 1985 and Meegoda and Ratnaweera, 1994).

نمونه برداری (B) کمترین مقدار بوده و با کاهش غلظت آلودگی افزایش می یابد. در این راستا تمام نمونه های آلوده SM رفتار غیر خمیری داشته اند. علت این موضوع را می توان مربوط به تأثیر هیدروکربن ها بر ذرات خاک دانست. به عبارت دیگر این مواد باعث خشی شدن بار ذرات رس شده و ضخامت لایه آب دوگانه در اطراف ذرات رس را کاهش

جدول ۴. نتایج آزمایش های تعیین حدود آتربرگ نمونه های آلوده

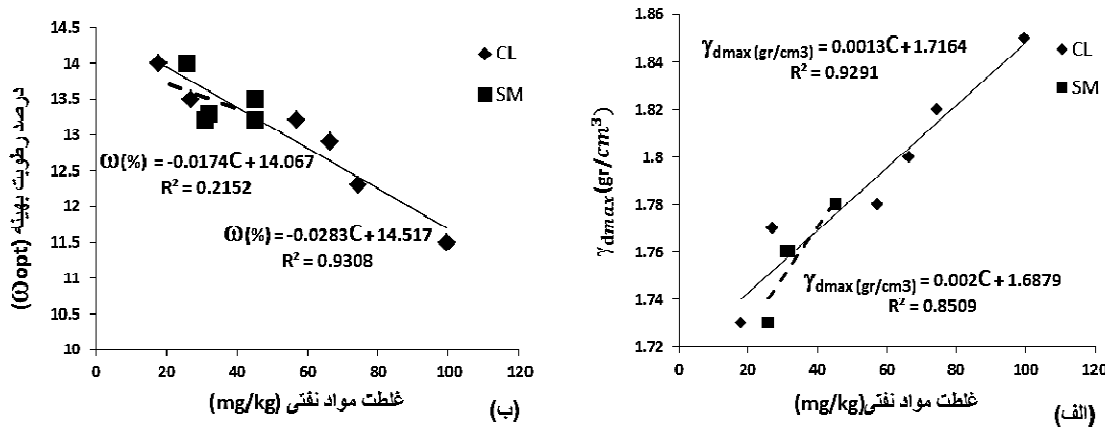
ردۀ خاک	نقطه نمونه برداری	شماره نمونه	غلظت مواد نفتی (mg/kg)	LL(%)	PL(%)	PI(%)
B	۱	۹۹/۳۸	۹۹/۳۸	۲۴	۱۴/۳	۹/۷
I	۲	۷۴/۵	۷۴/۵	۲۵/۶	۱۵	۱۰/۶
J	۳	۶۶/۴	۶۶/۴	۲۶/۷	۱۵/۲	۱۱/۵
A	۴	۵۷/۱	۵۷/۱	۲۸/۸	۱۶	۱۲/۸
D	۵	۲۶/۹	۲۶/۹	۳۱/۴	۱۸/۲	۱۳/۲
K	۶	۱۷/۹	۱۷/۹	۳۳/۶	۱۹/۶	۱۴
F	۷	۴۵/۴	۴۵/۴	NP	NP	NP
G	۸	۴۵/۴	۴۵/۴	NP	NP	NP
E	۹	۳۲	۳۲	NP	NP	NP
SM	۱۰	۳۰/۹	۳۰/۹	NP	NP	NP
C	۱۱	۲۵/۹	۲۵/۹	NP	NP	NP

رونده تغییرات وزن واحد حجم خشک حداقل و درصد رطوبت بهینه بر اساس غلظت مواد نفتی برای هر نوع خاک در شکل (۵) آورده شده است.

۴-۲. نتایج آزمایش تراکم استاندارد
جهت بررسی تغییرات تراکم پذیری نمونه ها، آزمایش تراکم استاندارد پروفکتور انجام گردید. نتایج برای هر دو نوع خاک آلوده CL و SM در جدول (۵) آورده شده است. همچنین

جدول ۵. وزن واحد حجم خشک بیشینه (γ_{dmax}) و درصد رطوبت بهینه (ω_{opt}) حاصل از آزمایش تراکم استاندارد

ردۀ خاک	نقطه نمونه برداری	شماره نمونه	غلظت مواد نفتی (mg/kg)	(%) ω	γ_{dmax} (gr/cm ³)
B	۱	۹۹/۳۸	۹۹/۳۸	۱۱/۵	۱/۸۵
I	۲	۷۴/۵	۷۴/۵	۱۲/۳	۱/۸۲
J	۳	۶۶/۴	۶۶/۴	۱۲/۹	۱/۸
A	۴	۵۷/۱	۵۷/۱	۱۳/۲	۱/۷۸
D	۵	۲۶/۹	۲۶/۹	۱۳/۵	۱/۷۷
K	۶	۱۷/۹	۱۷/۹	۱۴	۱/۷۳
F	۷	۴۵/۴	۴۵/۴	۱۳/۲	۱/۷۸
G	۸	۴۵/۴	۴۵/۴	۱۳/۵	۱/۷۸
E	۹	۳۲	۳۲	۱۳/۳	۱/۷۶
SM	۱۰	۳۰/۹	۳۰/۹	۱۳/۲	۱/۷۶
C	۱۱	۲۵/۹	۲۵/۹	۱۴	۱/۷۳



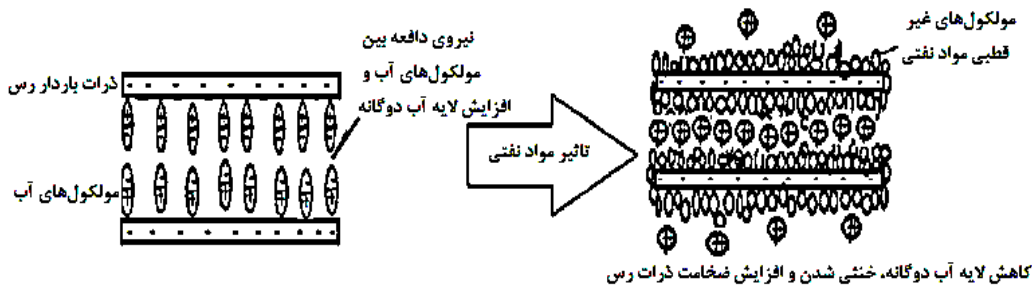
شکل ۵. تغییرات الف: وزن واحد حجم خشک حداکثر و ب: درصد رطوبت بهینه در برابر غلظت مواد نفتی

میزان ذرات در واحد حجم می‌گردند که با نتایج محققان دیگر مطابق می‌باشد (Alsanad and Ismael, 1995; Aiban, 1996; Lekmine, 1991; Vijay and Puri, 2000).

مواد نفتی با ثابت دی‌الکتریک پایین باعث کاهش نیروی دافعه بین ذرات رس و ایجاد رفتار دانه‌ای در ذرات خاک می‌شود. خاک با رفتار دانه‌ای با رطوبت کمتر به حداکثر وزن واحد حجم خشک می‌رسد. شکل (۶) نحوه تأثیر مواد نفتی بر ذرات رس را نشان می‌دهد.

با توجه به جدول (۵) مشاهده می‌شود که نمونه‌های با آلودگی بیشتر با درصد رطوبت بهینه کمتری به وزن واحد حجم خشک حداکثر رسیده‌اند. در خاک‌های رسی (CL)، نمونه شماره ۱ (از نقطه نمونه‌برداری B) و در خاک‌های ماسه سیلتی (SM) نمونه‌های شماره ۷ و ۸ (از نقاط نمونه‌برداری F و G) بیشترین وزن واحد حجم خشک را دارند. دلیل این را می‌توان به صورت زیر بیان نمود:

- احاطه شدن ذرات خاک توسط مواد نفتی حرکت ذرات خاک بر روی یکدیگر را آسان نموده و موجب افزایش



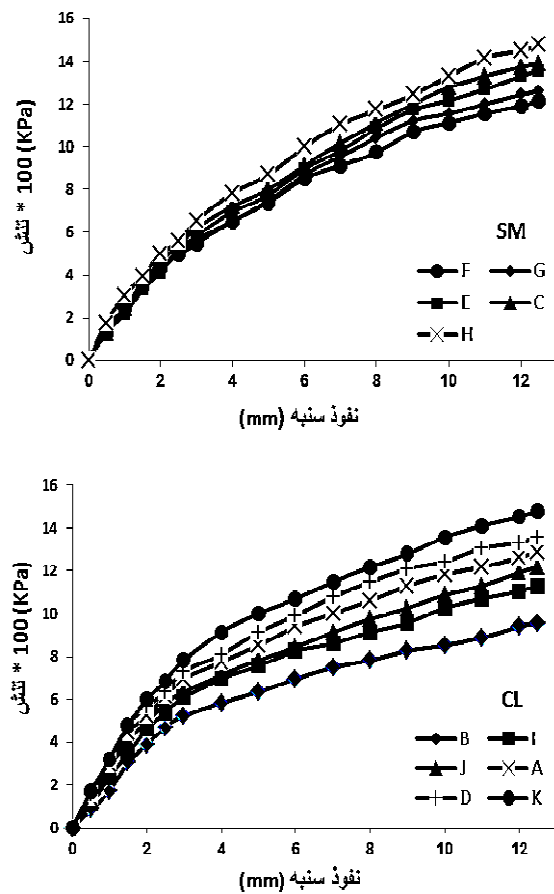
شکل ۶. تأثیر مواد نفتی بر ذرات رس و کاهش ثابت دی‌الکتریک آب منفذی بین ذرات خاک با تغییرات (Sivapullaiah et al., 1987)

Acar et al, 1985 and Meegoda and Ratnaweera, (1994).

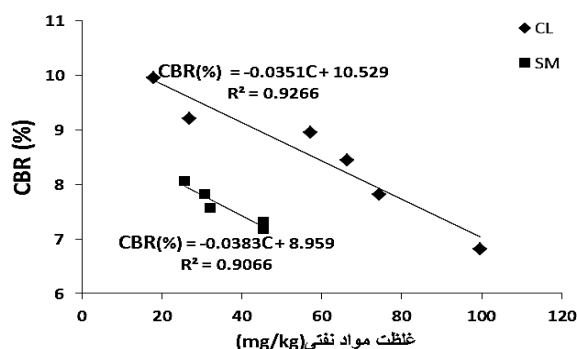
با توجه به شکل (۵) می‌توان بر اساس میزان آلودگی، مقادیر وزن واحد حجم خشک حداکثر و درصد رطوبت بهینه را از

- مواد نفتی با احاطه کردن ذرات خاک باعث کاهش لایه آب دوگانه می‌شود. در نتیجه میزان آب بین دانه‌ای لازم جهت لغزیدن ذرات بر روی هم کاهش می‌یابد و خاک با رطوبت کمتر به حداکثر وزن واحد حجم خشک می‌رسد

است. رابطه بین غلظت مواد نفتی و نسبت باربری کالیفرنیا در نمودار شکل (۸) ارائه شده است.



شکل ۷. نمودار تنش - نفوذ سنبه در آزمایش CBR (نقاط نمونه برداری از بیشترین آلودگی به کمترین آلودگی مرتب شده‌اند)



شکل ۸. تغییرات نسبت باربری کالیفرنیا در مقابل غلظت مواد نفتی

روابط ۱ تا ۴ برای خاک‌های آلوده محدوده مورد مطالعه تعیین نمود.

برای نمونه‌های رسی (CL)

$$\gamma_{dmax}(\text{gr/cm}^3) = 0.0013C + 1.72 \quad (1)$$

($R^2 = 0.93$)

$$\omega_{opt} (\%) = -0.0174C + 14.1 \quad (2)$$

($R^2 = 0.22$)

برای نمونه‌های ماسه سیلتی (SM)

$$\gamma_{dmax}(\text{gr/cm}^3) = 0.002C + 1.69 \quad (3)$$

($R^2 = 0.85$)

$$\omega_{opt} (\%) = -0.0283C + 14.5 \quad (4)$$

($R^2 = 0.93$)

در این روابط، C، غلظت مواد هیدروکربنی آلوده کننده می باشد.

۴-۳. نتایج آزمایش تعیین نسبت باربری کالیفرنیا (CBR)

آزمایش نسبت باربری کالیفرنیا (CBR) متداول‌ترین روش تعیین مقاومت نسبی خاک‌ها برای راهسازی است. با استفاده از نتایج این آزمایش می‌توان ظرفیت باربری خاک بستر و کلیه اجزاء راه از قبیل زیراساس و اساس را یافته، بر طبق آن ضخامت این لایه را تعیین کرد. این آزمایش مقاومت بر بشی خاک را تحت شرایط کنترل شده درصد رطوبت و وزن واحد حجم خشک به دست می‌دهد. این آزمایش در نهایت یک عدد را به عنوان نسبت باربری به دست می‌دهد. بدیهی است که این عدد برای یک خاک مشخص ثابت نیست و بستگی به شرایط تراکمی و رطوبتی آن خاک دارد.

برای انجام این آزمایش نمونه‌ها با وزن واحد حجم خشک بیشینه (γ_{dmax}) و درصد رطوبت بهینه (ω_{opt}) حاصل از آزمایش تراکم استاندارد آماده‌سازی شده و مقدار تورم در این آزمایش برای آن‌ها اندازه‌گیری نشده است. نمونه‌ها در سه لایه و هر لایه ۶۵ ضربه با استفاده از چکش تراکم استاندارد در قالب CBR کوبیده شدند (ASTM D1883., 2000). نتایج حاصل از این آزمایش در شکل (۷) و جدول (۶) آورده شده

(Aiban, 1996) با توجه به شکل (۸) می‌توان مقادیر CBR را نسبت به غلظت مواد نفتی برای خاک‌های آلووده محدوده مورد مطالعه بر اساس روابط ۵ و ۶ به دست آورده:

$$\text{برای نمونه‌های رسی (CL)} \quad (5)$$

$$\text{CBR}(\%) = -0.035C + 10.53 \quad (5)$$

$$(R^2 = 0.93)$$

برای نمونه‌های ماسه سیلتی (SM)

$$\text{CBR}(\%) = -0.038C + 8.96 \quad (6)$$

$$(R^2 = 0.91)$$

۴-۴ نتایج آزمایش برش مستقیم

مقاومت برشی خاک، عمدت‌ترین عامل در تعیین رفتار خاک‌ها می‌باشد و در مباحث پایداری خاک اهمیت و کاربرد زیادی دارد. مقاومت برشی خاک، مقاومت در واحد سطح آن است، یعنی مقاومتی که خاک می‌تواند برای تاب آوردن در برابر گسیختگی و لغزش در امتداد هر سطح دلخواه در داخل خود بسیج نماید (ASTM D3080, 2000).

انجام این آزمایش به منظور تعیین پارامترهای مقاومت خاک یعنی چسبندگی و زاویه اصطکاک داخلی از نمونه طبیعی خاک و یا از نمونه‌های بازسازی شده می‌باشد. در این آزمایش، نمونه خاک تحت فشار قائم معین (در امتداد محور نمونه) فرار می‌گیرد و فشار برشی (عمود بر فشار قائم) تا آن حد افزایش می‌یابد، تا نمونه بریده شود (ASTM D3080, 2000). جهت جلوگیری از خروج مواد نفتی در اثر نفوذ آب، این آزمایش در شرایط تحکیم نیافته- زهکشی نشده و با وزن واحد حجم خشک بیشینه (d_{max}) و درصد رطوبت بهینه (ω_{opt}) حاصل از آزمایش تراکم استاندارد انجام شده است. همچنین آزمایش برای سه فشار عمودی شامل 10 ، 20 و 40 کیلوپاسکال انجام شد. نتایج حاصل از این آزمایش در شکل (۹) بر اساس مقادیر تنش برشی ماقریم- جابجایی و نمودار تنش قائم- تنش برشی آورده شده است. همچنین مقادیر

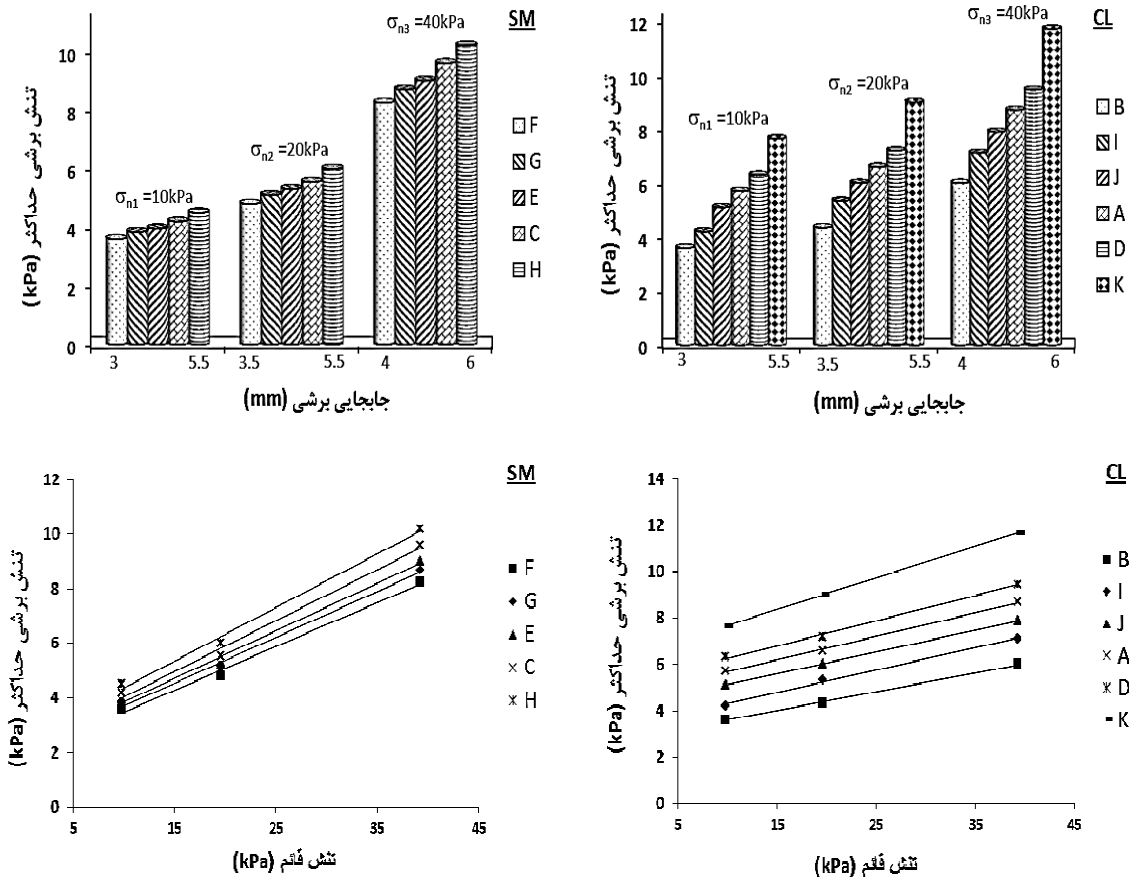
جدول ۶. مقادیر CBR برای نفوذ $2/5$ میلی‌متر سنبه برای نمونه‌های آلووده به مواد نفتی

ردۀ خاک	نقطه نمونه‌برداری	شماره نمونه	غلظت مواد نفتی (mg/kg)	CBR (%)
CL	B	۱	۹۹/۳۸	۷/۸۱
	I	۲	۷۴/۵	۷/۸۱
	J	۳	۶۶/۴	۸/۴۴
	A	۴	۵۷/۱	۸/۹۵
	D	۵	۲۶/۹	۹/۲
	K	۶	۱۷/۹	۹/۹۶
SM	F	۷	۴۵/۴	۷/۱۸
	G	۸	۴۵/۴	۷/۳۱
	E	۹	۳۲	۷/۵۶
	C	۱۰	۳۰/۹	۷/۸۱
	H	۱۱	۲۵/۹	۸/۰۶

با مقایسه مقادیر CBR هر یک از نمونه‌ها مشاهده می‌شود که در نمونه‌های با آلوودگی بیشتر، مقدار باربری کالیفرنیا کاهش یافته است. مقدار کاهش CBR در نمونه‌های رسی (CL) به مراتب بیشتر از نمونه‌های ماسه‌ای می‌باشد. علت این امر تأثیر مواد نفتی بر چسبندگی ذرات رس می‌باشد که موجب کاهش چسبندگی خاک می‌شوند. همچنین با توجه به سطح ویژه بالای ذرات رس، میزان مواد نفتی احاطه‌کننده ذرات در واحد حجم در خاک‌های رسی بیشتر بوده و بیشترین تأثیر در لغزش ذرات نسبت به خاک‌های دانه‌ای خواهد داشت. در حالت کلی مواد نفتی با احاطه کردن ذرات خاک، لغزش ذرات در امتداد سطح یکدیگر را افزایش می‌دهند. از طرف دیگر هیدروکربن‌های نفتی خاصیت پلاستیکی داشته و با احاطه کردن ذرات خاک موجب افزایش شکل‌پذیری ذرات تشکیل‌دهنده خاک می‌شوند. همچنین با توجه به این که ذرات رسی سطح مخصوص بیشتری دارند، بنابراین باعث افزایش درصد هیدروکربن‌های موجود در خاک شده و موجب افزایش انعطاف‌پذیری خاک می‌شوند. افزایش قابلیت انعطاف پلاستیکی ذرات خاک میزان نشست و تغییر شکل خاک در برابر نفوذ سنبه را افزایش می‌دهد، در نتیجه نسبت باربری کالیفرنیا کاهش یافته است (Shin et al., 1999).

اصطکاک داخلی و چسبندگی نمونه‌ها نسبت به غلظت مواد نفتی آلوده کننده را نشان می‌دهد

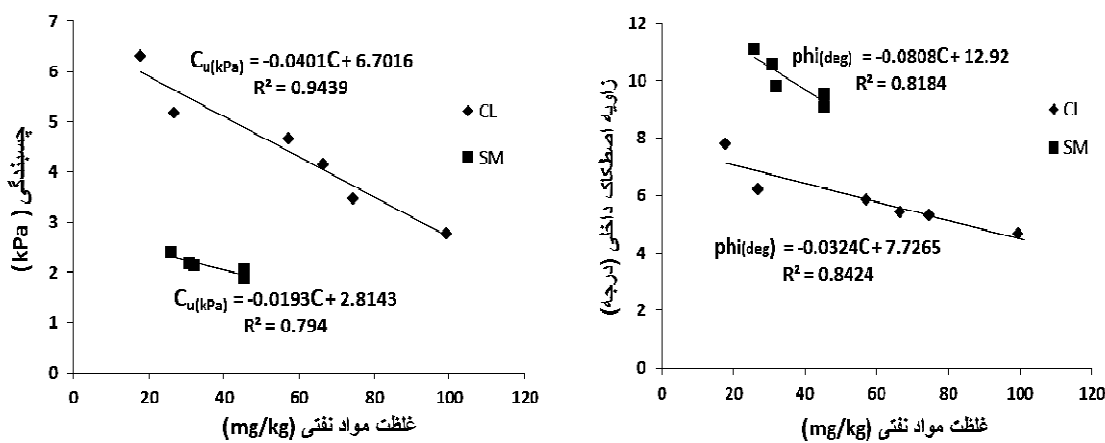
چسبندگی (C) و زاویه اصطکاک داخلی (Φ) در جدول (V) آورده شده است. شکل (۱۰) نیز روند تغییرات زاویه



شکل ۹. نتایج آزمایش برش مستقیم UU بر روی نمونه‌های مورد مطالعه (نقاط نمونه‌برداری از بیشترین آلودگی به کمترین آلودگی مرتب شده‌اند)

جدول ۷. روابط حاصل از آزمایش برش مستقیم بر روی نمونه‌های آلوده

Φ (درجه)	C (kPa)	غلظت مواد نفتی (mg/kg)	شماره نمونه	نقطه نمونه‌برداری	رده خاک
۴/۶۸	۲/۷۷	۹۹/۳۸	۱	CL	B
۵/۳۱	۳/۴۶	۷۴/۵	۲		I
۵/۴۳	۴/۱۵	۶۶/۴	۳		J
۵/۸۶	۴/۶۵	۵۷/۱	۴		A
۷/۲	۵/۱۷	۲۶/۹	۵		D
۷/۸	۷/۳	۱۷/۹	۶		K
۹/۱	۱/۸۷	۴۵/۴	۷	SM	F
۹/۵۳	۲/۰۴	۴۵/۴	۸		G
۹/۸۱	۲/۱۲	۳۲	۹		E
۱۰/۵۴	۲/۱۷	۳۰/۹	۱۰		C
۱۱/۰۹	۲/۴	۲۵/۹	۱۱		H



شکل ۱۰. روند تغییرات زاویه اصطکاک داخلی و چسبندگی نمونه‌ها نسبت به غلظت مواد نفتی آلوده‌کننده

خروج آب از حالت جذب سطحی شده و فشار آب منفذی افزایش یابد. افزایش فشار آب منفذی باعث کاهش مقاومت خاک می‌گردد (شکل ۶).

- با توجه به شکل (۱۰) مقادیر زاویه اصطکاک داخلی و چسبندگی نمونه‌ها بر اساس غلظت مواد نفتی (C) از روابطی تبعیت می‌کنند که می‌توان بر اساس این روابط، پارامترهای مقاومت برشی برای خاک‌های آلوده محدوده مورد مطالعه را تعیین نمود:

برای نمونه‌های رسی (CL)

$$\phi(deg) = -0.0324C + 7.7265$$

(۷)

$$(R^2 = 0.84)$$

$$C_u(kPa) = -0.0401C + 6.7016 \quad (8)$$

$$(R^2 = 0.94)$$

برای نمونه‌های ماسه سیلتی (SM)

$$\phi(deg) = -0.0808C + 12.92 \quad (9)$$

(۹)

$$(R^2 = 0.82)$$

$$C_u(kPa) = -0.0193C + 2.8143 \quad (10)$$

$$(R^2 = 0.80)$$

بر اساس نتایج حاصل از این آزمایش‌ها مشاهده شد که با افزایش آلودگی، مقاومت برشی کاهش می‌یابد. به عبارت دیگر در نمونه‌های با آلودگی بیشتر در خاک‌های مشابه، پارامترهای مقاومت برشی (C و φ) کاهش یافته است. در نمونه‌های رسی (CL) پارامتر چسبندگی بیشتر از زاویه اصطکاک داخلی تحت تأثیر بوده و کاهش بیشتری را نشان می‌دهد. بر عکس، در نمونه‌های ماسه‌ای پارامتر زاویه اصطکاک داخلی بیشتر تحت تأثیر بوده و با افزایش آلودگی در آن‌ها کاهش بیشتری را نشان می‌دهد. علت این موضوع به دلایل زیر است:

- هیدروکربن‌های نفتی جامد باعث کاهش ثابت دی-الکتریک ذرات خاک شده و با احاطه کردن ذرات رس باعث تغییر رفتار آن‌ها به رفتار خاک‌های دانه‌ای شده و بنابراین کاهش چسبندگی خاک می‌گردد (شکل ۶).

همچنین تغییر رفتار خاک به دانه‌ای تخلخل خاک را افزایش داده و این امر باعث کاهش مقاومت خاک می‌شود (Alsanad and Eid, 1997; Meegoda and Ratnaweera, 1994).

- احاطه شدن ذرات خاک با مواد نفتی لغزنده‌گی ذرات خاک را افزایش داده و باعث کاهش اصطکاک بین ذرات خاک می‌شود (Aiban, 1996).

- هیدروکربن‌های نفتی با احاطه کردن ذرات خاک، باعث

انجام شد. نمونه‌ها با وزن واحد حجم خشک بیشینه (γ_{dmax}) و درصد رطوبت بهینه (ω_{opt}) حاصل از آزمایش تراکم استاندارد آماده‌سازی شدند. نتایج آزمایش شامل سه نمودار به قرار زیر است:

الف) نمودار نسبت تخلخل - لگاریتم فشار: با استفاده از این نمودار، پارامترهای شاخص فشردگی (C_C)، شاخص تورم (C_s) و فشار پیش تحکیم (P_C) محاسبه می‌شود.

ب) نمودار نسبت تخلخل - فشار: با استفاده از این نمودار، پارامترهای ضریب تراکم‌پذیری (av)، ضریب تغییر حجم (m_v) و مدول یانگ (E_S) محاسبه می‌شود.

ج) نمودار نشست - لگاریتم زمان: این نمودار برای میزان نشست در واحد زمان برای یکی از فشارهای اعمالی ترسیم می‌شود. در این پژوهش نمودار نشست - لگاریتم زمان t با توجه به میزان فشار واردہ از مخازن نفتی برای فشارهای اعمالی ۲۰۰ کیلوپاسکال ترسیم شده است. با استفاده از این نمودار مقادیر زمان ۵۰٪ تحکیم (t_{50})، ضریب تحکیم (C_V) و ضریب نفوذپذیری (K) خاک محاسبه می‌گردد. نتایج حاصل از این آزمایش به صورت نمودارهای تغییرات پارامترهای تحکیم در برابر غلظت مواد نفتی آورده شده است (شکل ۱۱). همچنین، مقادیر پارامترهای بیان شده در جدول (۸) آمده است.

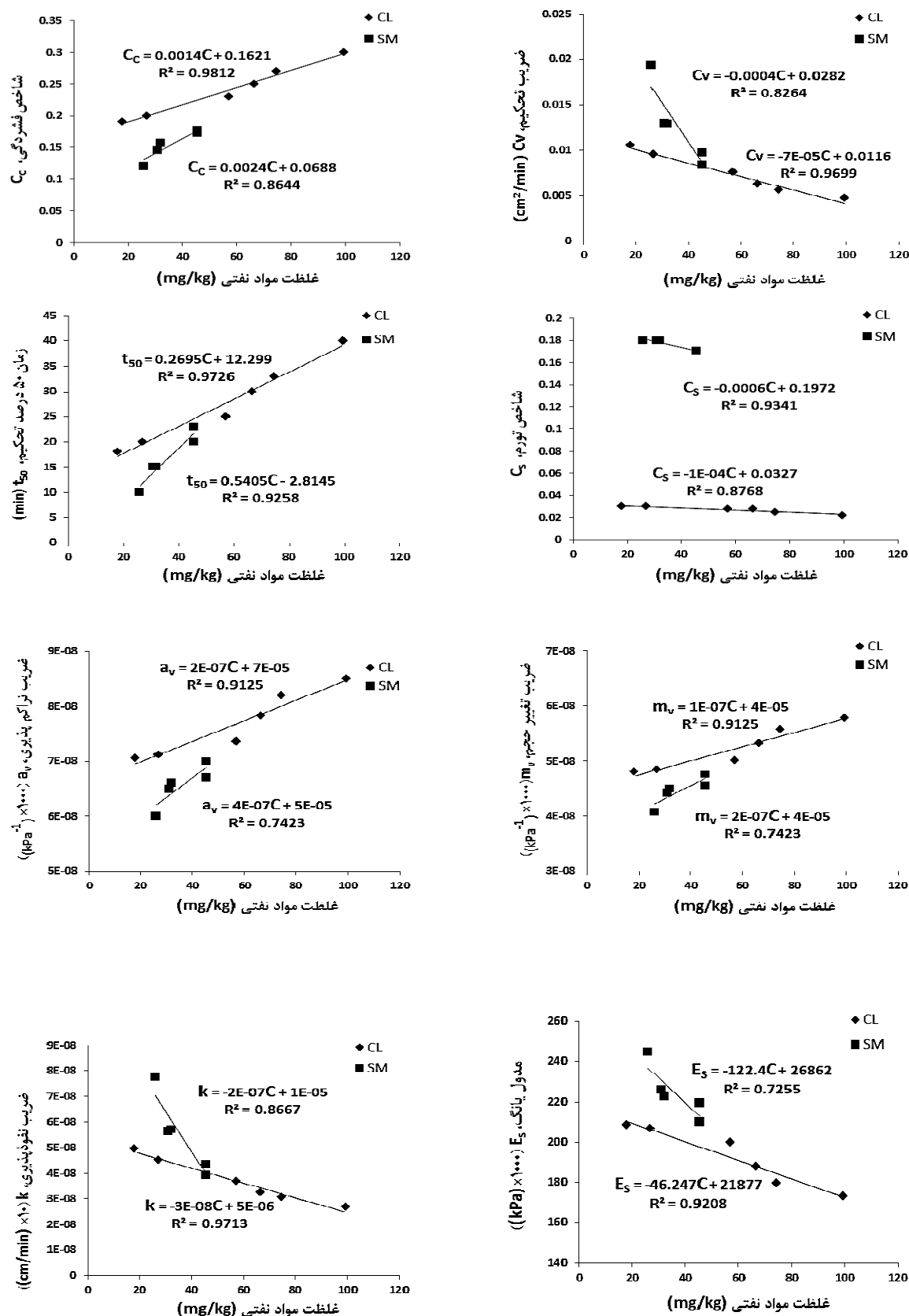
۴-۵. نتایج آزمایش تحکیم

آزمایش تحکیم برای تعیین میزان نشست خاک به کار می‌رود. در این آزمایش، تحت تأثیر بارگذاری محوری از تغییر شکل افقی خاک جلوگیری به عمل آمده و زهکشی نیز در جهت قائم انجام می‌شود. در این آزمایش، خاک اشباع در یک حلقه تحکیم فلزی قرار گرفته و در جهت قائم به دفعات مختلف در اثر بارگذاری فشرده می‌شود تا این که فشار منفذی ایجاد شده در هر تنش اضافی کاملاً محو شود. حلقه تحکیم فلزی مانع کرنش خاک در جهت افقی می‌گردد. طی فشرده شدن نمونه، مقدار کوتاه شدن آن ثبت می‌شود. این اطلاعات برای محاسبه ضرایبی که بیان کننده رابطه بین تنش موثر و کرنش یا نسبت پوکی هستند، به کار می‌روند و بیان کننده درجه فشردگی نمونه می‌باشند. مقدار تراکم‌پذیری خاک که با این آزمایش مشخص می‌شود، از مهم‌ترین خواصی است که از طریق تجارب آزمایشگاهی حاصل می‌شود. اطلاعات به دست آمده از آزمایش تحکیم خاک می‌تواند در گسترش یا تخمین سرعت و مقدار نشست غیریکنواخت و نشست کل یک سازه یا توده خاک و نیز در انتخاب نوع پی مورد استفاده قرار گیرد (افلاکی، ۱۳۸۰). اعمال فشار در آزمایش تحکیم معمولاً به صورتی است که $\Delta P/P=1$ باشد. بنابراین این آزمایش با فشارهای ۲۵، ۵۰، ۱۰۰، ۲۰۰، ۴۰۰، ۸۰۰ و ۱۶۰۰ کیلوپاسکال

جدول ۸. مقادیر پارامترهای تحکیم نمونه‌های مورد مطالعه

$k(cm/min)$	$C_V(cm^2/min)^*$	$E_S(kPa)$	$m_v(kPa^{-1})$	$a_v(kPa^{-1})$	C_s	C_C	غلظت مواد نفتی (mg/kg)	نقطه نمونه‌برداری	رده خاک
2.78×10^{-7}	۰/۰۰۴۷	۱۷۲۹۴/۱۲	$5/78 \times 10^{-5}$	$8/25 \times 10^{-5}$	۰/۰۲۲	۰/۳	۹۹/۳۸	B	
3.05×10^{-7}	۰/۰۰۵۶	۱۷۹۲۶/۸۳	$5/58 \times 10^{-5}$	$8/22 \times 10^{-5}$	۰/۰۲۵	۰/۲۷	۷۴/۵	I	
3.25×10^{-7}	۰/۰۰۶۲	۱۸۷۷۳/۹۵	$5/33 \times 10^{-5}$	$7/83 \times 10^{-5}$	۰/۰۲۸	۰/۲۵	۶۶/۴	J	CL
3.78×10^{-7}	۰/۰۰۷۵	۱۹۹۷۲/۸۳	$5/0 \times 10^{-5}$	$7/31 \times 10^{-5}$	۰/۰۲۸	۰/۲۳	۵۷/۱	A	
4.02×10^{-7}	۰/۰۰۹۵	۲۰۶۴۷/۰۷	$4/84 \times 10^{-5}$	$7/12 \times 10^{-5}$	۰/۰۳	۰/۲	۲۶/۹	D	
4.96×10^{-7}	۰/۰۱۰۵	۲۰۸۲۱/۵۳	$4/80 \times 10^{-5}$	$7/0.1 \times 10^{-5}$	۰/۰۳	۰/۱۹	۱۷/۹	K	
3.92×10^{-7}	۰/۰۰۸۴	۲۱۰۰۰/۰۰	$4/76 \times 10^{-5}$	7×10^{-5}	۰/۰۱۷	۰/۱۷۷	۴۵/۴	F	
4.34×10^{-7}	۰/۰۰۹۷	۲۱۹۴۰/۳۰	$4/56 \times 10^{-5}$	$6/77 \times 10^{-5}$	۰/۰۱۷	۰/۱۷۲	۴۵/۴	G	
5.77×10^{-7}	۰/۰۱۳	۲۲۲۷۲/۷۳	$4/5 \times 10^{-5}$	$6/6 \times 10^{-5}$	۰/۰۱۸	۰/۱۵۷	۳۲	E	SM
5.73×10^{-7}	۰/۰۱۳	۲۲۶۱۵/۳۸	$4/42 \times 10^{-5}$	$6/5 \times 10^{-5}$	۰/۰۱۸	۰/۱۴۵	۳۰/۹	C	
7.76×10^{-7}	۰/۰۱۹۴	۲۴۵۰۰/۰۰	$4/0.8 \times 10^{-5}$	$6/25 \times 10^{-5}$	۰/۰۱۸	۰/۱۲	۲۵/۹	H	

* برای فشار ۲۰۰ کیلوپاسکال



شکل ۱۱. روند تغییرات پارامترهای آزمایش تحکیم بر روی نمونه‌های مورد مطالعه

غلظت‌های مختلف آلودگی نفتی برای انواع خاک‌های CL و SM به دست آورده.

۵. نتیجه‌گیری

به طور کلی با توجه به نتایج آزمایش‌های صورت گرفته بر روی خاک‌های آلوده به مواد نفتی در محدوده پالایشگاه تبریز نتایج زیر به دست آمده است:

- نوع هیدروکربن‌های نفتی آلوده‌کننده خاک‌های محدوده پالایشگاه تبریز از C14 (N-Tetradocane) تا C28 (Octacosane) متغیر بوده و غلظت مواد نفتی آلوده‌کننده از ۵۷/۱ تا ۹۹/۳۸ میلی‌گرم بر کیلوگرم متغیر است.
- شاخص خمیری ذرات در نمونه‌های با آلودگی بیشتر، کاهش یافته است. علت این موضوع احاطه شدن ذرات خاک توسط هیدروکربن‌ها و خشثی شدن بار ذرات رس و عدم تأثیر آب بر ذرات رسی می‌باشد.
- با افزایش آلودگی خاک‌ها به هیدروکربن‌های نفتی جامد، وزن واحد حجم خشک حداقل افزایش و درصد رطوبت بهینه کاهش می‌یابد.
- افزایش آلودگی در خاک به مواد نفتی، لغزنده‌گی ذرات خاک را بر روی هم افزایش داده و موجب کاهش نسبت باربری کالیفرنیا می‌گردد و خاک را برای پی‌سازی نامناسب می‌کند.
- هیدروکربن‌های نفتی با کاهش ثابت دی‌الکتریک سیال منفذی، افزایش لغزنده‌گی ذرات خاک و تأثیر بر بارالکتریکی ذرات رس باعث کاهش پارامترهای مقاومت برشی خاک شده و مقاومت گسیختگی را کاهش می‌دهند.
- افزایش مقادیر هیدروکربن‌های نفتی در خاک باعث افزایش شکل‌پذیری ذرات خاک شده و شاخص فشرده‌گی و میزان نشست خاک را افزایش می‌دهد. با توجه به ویسکوزیته بالای هیدروکربن‌های نفتی جامد آلوده‌کننده نمونه‌ها، زمان تحکیم

با توجه به نتایج این آزمایش مشاهده شد که با افزایش آلودگی در نمونه‌ها میزان نشست افزایش یافته است، که این پارامتر در نمونه‌های رسی (CL) بیشتر بوده است. به عبارت دیگر مقادیر شاخص فشرده‌گی (C_C)، ضریب تراکم‌پذیری (a_v) و ضریب تغییر حجم (m_v) با افزایش آلودگی در نمونه‌ها افزایش یافته است. همان‌طور که مشاهده می‌شود، در نمونه‌های با آلودگی بیشتر، شبیه منحنی شاخص فشرده‌گی افزایش یافته است. دلیل این امر خاصیت پلاستیکی و تغییر شکل‌پذیری هیدروکربن‌های جامد است که با احاطه کردن ذرات خاک موجب افزایش انعطاف‌پذیری و تغییر شکل‌پذیری ذرات خاک می‌شود؛ همین امر باعث کاهش مقدار مدول یانگ خاک (E_S) نیز شده است. همچنین با توجه به نتایج، میزان ضریب تحکیم (C_V) با افزایش آلودگی کاهش یافته است که با توجه به افزایش انعطاف‌پذیری و شکل‌پذیری ذرات خاک با افزایش آلودگی قابل توجیه می‌باشد (طاحونی، ۱۳۸۱). افزایش مقادیر شاخص فشرده‌گی و ضرایب تحکیم (m_v , a_v) در اثر افزایش آلودگی، موجب افزایش نشست‌های تحکیمی و به خطر افتادن مخازن نفت خواهد شد. با توجه به این که مواد نفتی ویسکوزیته بالای دارند، این امر زمان تحکیم را افزایش می‌دهد به طوری که در هر دو نوع خاک با افزایش آلودگی، زمان ۵۰٪ تحکیم (t_{50}) نیز افزایش یافته و ضریب تحکیم و ضریب نفوذ‌پذیری کاهش یافته است. این امر نشست‌های تحکیمی وابسته به زمان را افزایش می‌دهد. این نتایج مطابق با نتایج Shin et al. (1999), Meegoda and Ratnaweera (1994) و صدیقیان (۱۳۸۳) می‌باشد. دلیل این محققین ویسکوزیته بالا، کاهش ثابت دی‌الکتریک سیال منفذی، افزایش شکل‌پذیری، انعطاف‌پذیری و روغن کاری ذرات خاک می‌باشد. بر اساس شکل (۱۱) می‌توان تغییرات پارامترهای تحکیم را برای

تشکر و قدردانی

بدین وسیله از مدیر محترم پژوهش و فن‌آوری پالایشگاه تبریز جناب آقای مهندس رحیم غبرائی و همکاری صمیمانه جناب آقای مهندس محمد کاظم کنگری تشکر و قدردانی می‌گردد.

افزایش یافته و این امر زمان نشست تحکیمی را افزایش می‌دهد.

در این پژوهش رابطه بین هر یک از پارامترهای مهندسی با غلظت مواد نفتی آلوده‌کننده برای خاک‌های CL و SM به دست آمده که با استفاده از آن می‌توان پارامترهای مهندسی خاک‌های آلوده محدوده پالایشگاه را تخمین زد.

منابع

- افلاکی، ا.م.، ۱۳۸۰، آزمایشگاه مکانیک خاک، نشردانشگاه صنعتی امیرکبیر.
- صدیقیان.م.ح.، ۱۳۸۳، بررسی آزمایشگاهی تأثیر آلودگی به نفت خام بر پارامترهای مقاومت، نشت و تراکم پذیری ماسه، اولین کنگره ملی مهندسی عمران، ۸۲-۱۷۵۲
- طاحونی، ش.، ۱۳۸۱، اصول مهندسی ژئوتکنیک، جلد اول، مکانیک خاک (ترجمه)، انتشارات امیرکبیر.
- Acar, Y.B., Hamidon, A., and Field, S.D., 1985. The Effect of organic fluids on hydraulic conductivity of compacted kaolinite. American Society for Testing and Materials, 874: 171 – 187.
- Alsanad, I., Esmaeal., K., 1995. Aging effect on oil Contaminated Kuwaiti sand. Journal of Geotechnical and GeoEnvironmental Engineering, ASCE, 123(3): 290-294.
- Alsanad.H.A., Eid.W. K. I., 1997. Geotechnical properties of oil contaminated Kuwaiti sand. Journal of Geotechnical Engineering, ASCE, 121(5): 407-412.
- Aiban, A., 1998. The effect of temperature on the engineering properties of oil contaminated sand. Journal of Environmen International, 24(1- 2): 153-161.
- ASTM D422., 2000. Standard test methods for particle size analysis of soils. Annual Books of ASTM Standards.
- ASTM D4318., 2000. Standard test method for liquid limit, plastic limit and plasticity index of soil. Annual Books of ASTM Standards.
- ASTM D698., 2000. Standard test methods for laboratory compaction characteristic. Annual Books of ASTM Standard.
- ASTM D1883., 2000. Standard test method for CBR (California Bearing Ratio) of laboratory-compacted soils. Annual Books of ASTM Standards.
- ASTM D2435., 2000. Standard test method for one dimentional consolidation properties of soils. Annual Books of ASTM Standard.
- ASTM D3080., 2000. Standard test method for direct shear test of soils. Annual Books of ASTM Standards.
- Khamehchiyan, M., Charkhabi, A. H., Tajik, M., 2007. Effects of crude oil contamination on geotechnical properties of clayey and sandy soils method. Engineering Geology, 89: 220 –229.
- Lekkmine, D.E., 1991. Effect of petroleum hydrocarbons on the shear strength and compressibility of soil. Ph.D Thesis, Steven Institute of Technology, Castle Point, Hoboken, New Jersey.
- Meegoda, N. I., Ratnaweera, K., 1994. Compressibility of contaminated fine soil. Journal Geotechnical Testing, 17(1): 101-112.
- Praisler, M., Gosav, S., Van Bocxlaer, J., De Leenheer, A., and Massart, D. L., 2002. Exploratory analysis for the identification of Amphetamines using neural networks and GC-FTIR data. The Annals of the University Dunarea de Jos, Fascicle II, p. 83-96, ISSN 1221-4531.
- Shin, E.C., Lee, I. B., Das, B. M., 1999. Bearing capacity of a model seal footing on crude oil contaminated sand. Journal of Geotechnical and Geological Engineering, Kluwer Academic Publishers, 17: 123-132.

- Sivapullaiah, P.V., Sitharam, T.G. Subbareo, K.S., 1987. Clay-organic molecule interaction: consolidation behaviour. Department of Civil Engineering, Indian Institute of Science, Bangalore 560 012, Clay Research, 6(2): 76-80.
- Vijay, K., Puri, A. D., 2000. Geotechnical aspects of oil contaminated sands, soil and sediment contamination, 9(4):359-374.